

Oppsummering II, mai 2012:

Avbildning	F1
Sampling og kvantisering	F2
Geometriske operasjoner	F3
Gråtone- og histogramoperasjoner	F4,5
Filtrering i bilde-doménet (Filtrering i frekvens-doménet)	F6,7
(Kompressjon og koding av bilder)	F8,9
Segmentering ved terskling (Morfologiske operatorer)	F11,12
Farger og fargerom	F13
	F14
	F15

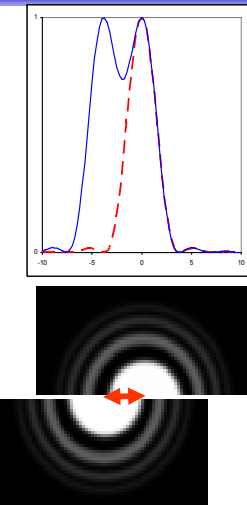
F16 29.05.2012

INF 2310 - FA

1

Rayleigh-kriteriet

- To punkt-kilder kan adskilles hvis de ligger slik at sentrum i det ene diffraksjonsmønstret faller sammen med den første mørke ringen i det andre.
 - Vinkelen mellom dem er da gitt ved $\sin \theta = 1.22 \lambda / D$ radianer.
 - Dette er "Rayleigh-kriteriet".
 - Vi kan ikke se detaljer som er mindre enn dette.*

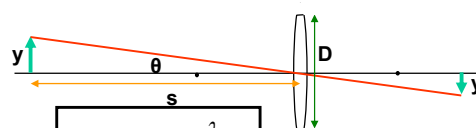


F16 29.05.2012

INF 2310 - FA

2

Hvor små detaljer kan en linse oppnå?



- Vinkeloppløsningen er gitt ved $\sin \theta = 1.22 \frac{\lambda}{D}$
- Tangens til vinkelen θ er gitt ved $\tan(\theta) = \frac{y}{s}$
- For små vinkler er $\sin(\theta) = \tan(\theta) = \theta$, når vinkelen θ er gitt i radianer.
- => Den minste detaljen vi kan oppnå:

$$\frac{y}{s} = 1.22 \frac{\lambda}{D} \Rightarrow y = 1.22 \frac{s\lambda}{D}$$

F16 29.05.2012

INF 2310 - FA

3

Samplingsteoremet (Shannon/Nyquist)

- Anta at det kontinuerlige bildet er båndbegrenset, dvs. det inneholder ikke høyere frekvenser enn f_{max}
- Det kontinuerlige bildet kan rekonstrueres fra det digitale bildet dersom samplingsraten $f_s = 1/T_s$ er større enn $2 f_{max}$ (altså $T_s < \frac{1}{2}T_0$)
- $2 f_{max}$ kalles Nyquist-raten
- I praksis oversampler vi med en viss faktor for å kunne få god rekonstruksjon

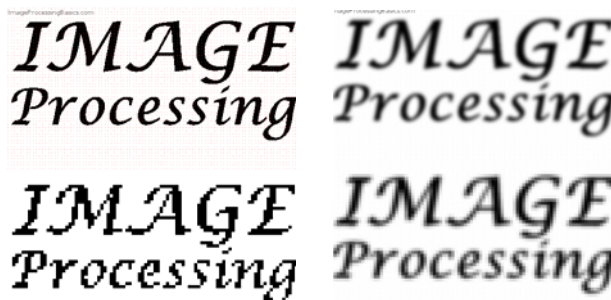
F16 29.05.2012

INF 2310 - FA

4

Anti-aliasing

- Ved *anti-aliasing* fjerner/demper vi de høyere frekvensene i bildet **før** vi sampler



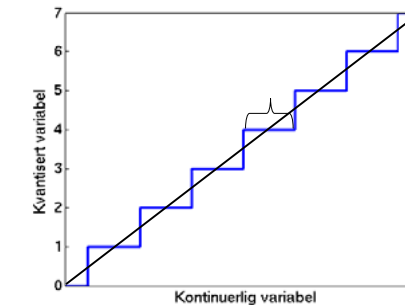
F16 29.05.2012

INF 2310 - FA

5

Kvantisering

- Hvert piksel lagres vha. n biter
- Pikselet kan da inneholde heltallsverdier fra 0 til $2^n - 1$
- Eks 3 biter:



F16 29.05.2012

INF 2310 - FA

6

Kvantiseringsfeil

- Kvantiseringsfeil
 - Summen av hver piksels avrundingsfeil
 - Kan velge intervaller og tilhørende rekonstruksjonsintensiteter for å minimere denne => Ikke nødvendigvis uniform fordeling
- Sentrale stikkord:
 - Lagringsplass
 - Behov for presisjon/akseptabelt informasjonstap
 - Hardware-kompleksitet, eller fysiske begrensninger
- Merk: Fremvisning og videre analyse av det kvantiserte bildet kan stille ulike krav til presisjon

F16 29.05.2012

INF 2310 - FA

7

Geometriske operasjoner

- Endrer på pikslenes posisjoner
- Første steg i denne prosessen:
 - Transformer pikselkoordinatene (x, y) til (x', y') :
$$x' = T_x(x, y)$$
$$y' = T_y(x, y)$$
 - T_x og T_y er ofte gitt som polynomer.
- Siden pikselkoordinatene må være heltall, må vi deretter bruke interpolasjon til å finne pikselverdien (gråtonen) i den nye posisjonen.

F16 29.05.2012

INF 2310 - FA

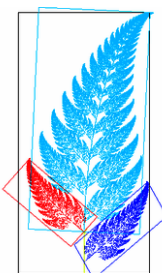
8

Affine transformer

- Transformerer pikselkoordinatene (x,y) til (x',y') :

$$x' = T_x(x,y)$$

$$y' = T_y(x,y)$$



- Affine transformasjon beskrives ved:

$$\begin{aligned} x' &= a_0x + a_1y + a_2 \\ y' &= b_0x + b_1y + b_2 \end{aligned}$$

- På matriseform:

$$\begin{bmatrix} x' \\ y' \\ 1 \end{bmatrix} = \begin{bmatrix} a_0 & a_1 & a_2 \\ b_0 & b_1 & b_2 \\ 0 & 0 & 1 \end{bmatrix} \begin{bmatrix} x \\ y \\ 1 \end{bmatrix} \text{ eller } \begin{bmatrix} x' \\ y' \\ 1 \end{bmatrix} = \begin{bmatrix} a_0 & a_1 \\ b_0 & b_1 \end{bmatrix} \begin{bmatrix} x \\ y \end{bmatrix} + \begin{bmatrix} a_2 \\ b_2 \end{bmatrix}$$

F16 29.05.2012

INF 2310 - FA

9

Eksempler på enkle transformer - II

Transformasjon	a_0	a_1	a_2	b_0	b_1	b_2	Uttrykk
Translasjon	1	0	Δx	0	1	Δy	$x' = x + \Delta x$ $y' = y + \Delta y$
Horisontal "shear" med faktor s_1	1	s_1	0	0	1	0	$x' = x + s_1 y$ $y' = y$
Vertikal "shear" med faktor s_2	1	0	0	s_2	1	0	$x' = x$ $y' = s_2 x + y$

$$\begin{bmatrix} x' \\ y' \\ 1 \end{bmatrix} = \begin{bmatrix} a_0 & a_1 & a_2 \\ b_0 & b_1 & b_2 \\ 0 & 0 & 1 \end{bmatrix} \begin{bmatrix} x \\ y \\ 1 \end{bmatrix}$$

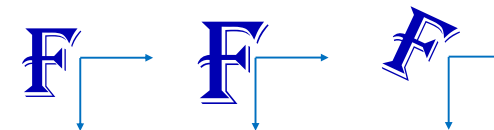
F16 29.05.2012

INF 2310 - FA

11

Eksempler på enkle transformer - I

Transformasjon	a_0	a_1	a_2	b_0	b_1	b_2	Uttrykk
Identitet	1	0	0	1	0	0	$x' = x$ $y' = y$
Skalering	s_1	0	0	0	s_2	0	$x' = s_1 x$ $y' = s_2 y$
Rotasjon	$\cos\theta$	$-\sin\theta$	0	$\sin\theta$	$\cos\theta$	0	$x' = x\cos\theta - y\sin\theta$ $y' = x\sin\theta + y\cos\theta$



$$\begin{bmatrix} x' \\ y' \\ 1 \end{bmatrix} = \begin{bmatrix} a_0 & a_1 & a_2 \\ b_0 & b_1 & b_2 \\ 0 & 0 & 1 \end{bmatrix} \begin{bmatrix} x \\ y \\ 1 \end{bmatrix}$$

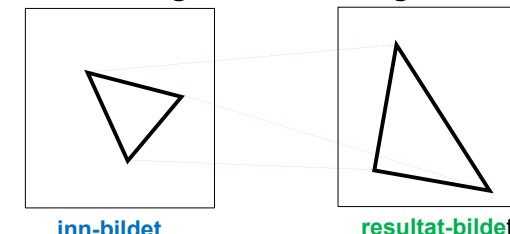
F16 29.05.2012

INF 2310 - FA

10

Alternativ måte å finne transformkoeffisientene

- En affin transform kan bestemmes ved å spesifisere tre punkter før og etter avbildningen



- Med disse tre punktparene kan vi finne de 6 koeffisientene; $a_0, a_1, a_2, b_0, b_1, b_2$
- Med flere enn 3 punktpar velger man den transformasjonen som minimerer (kvadrat-)feilen sumert over alle punktene.

F16 29.05.2012

INF 2310 - FA

12

Forlengs-mapping

```
for all x',y' do g(x',y') = 0
```

$$\begin{aligned} a_0 &= \cos \theta \\ a_1 &= -\sin \theta \\ b_0 &= \sin \theta \\ b_1 &= \cos \theta \end{aligned}$$

```
for all x,y do
```

$$\begin{aligned} x' &= \text{round}(a_0x + a_1y) \\ y' &= \text{round}(b_0x + b_1y) \\ \text{if } (x',y') \text{ inside } g \\ g(x',y') &= f(x,y) \end{aligned}$$

```
end
```

Eksempel:

Enkel rotasjon ved transformen:

$$\begin{bmatrix} x' \\ y' \\ 1 \end{bmatrix} = \begin{bmatrix} \cos \theta & -\sin \theta & 0 \\ \sin \theta & \cos \theta & 0 \\ 0 & 0 & 1 \end{bmatrix} \begin{bmatrix} x \\ y \\ 1 \end{bmatrix}$$

Flytter de posisjonstransformerte pikselposisjonene til nærmeste pikselposisjon i utbildet.

Skriver innbildets $f(x,y)$ inn i $g(x',y')$

F16 29.05.2012

INF 2310 - FA

13

Baklengs-mapping

$$a_0 = \cos(-\theta)$$

$$a_1 = -\sin(-\theta)$$

$$b_0 = \sin(-\theta)$$

$$b_1 = \cos(-\theta)$$

for alle x',y' do

$$\begin{aligned} x &= \text{round}(a_0x' + a_1y') \\ y &= \text{round}(b_0x' + b_1y') \\ \text{if } (x,y) \text{ inside } f \\ g(x',y') &= f(x,y) \\ \text{else} \\ g(x',y') &= 0 \\ \text{end} \end{aligned}$$

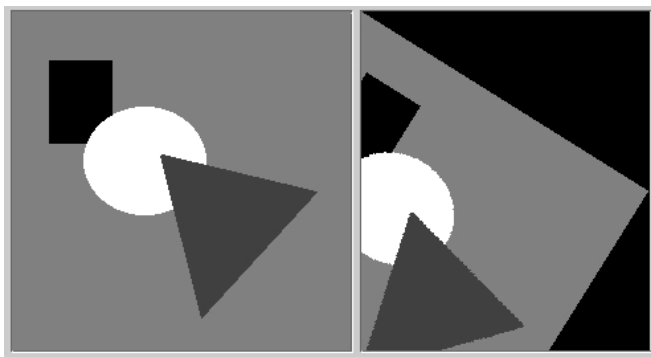
Samme eksempel som ved forlengs-mappingen.

NB: (x,y) rotert med θ ga (x',y') (x',y') rotert med $-\theta$ gir (x,y)

Resample bildet.
Her; for hvert utbilde-piksel, invers-transformér, og velg nærmeste piksel fra innbildet.

For hver pikselposisjon i ut-bildet:
Hent pikselverdi fra innbildet.

Baklengs-mapping, forts.



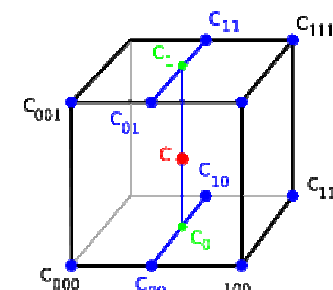
F16 29.05.2012

INF 2310 - FA

15

Trilineær interpolasjon

- Utvidelsen fra 2D til 3D kalles *trilineær* interpolasjon, og er en lineær interpolasjon mellom resultatene av to bilineære interpolasjoner.
- Resultatet er uavhengig av rekkefølgen.**



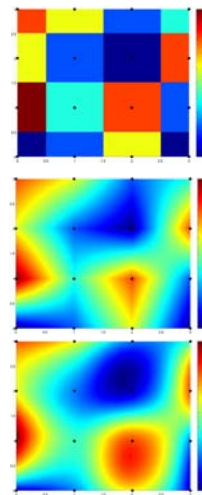
F16 29.05.2012

INF 2310 - FA

16

Interpolasjon – en sammenligning

- Nærmeste nabo gir 2D trappefunksjon.
 - Diskontinuitet midt mellom punktene.
- Bi-lineær interpolasjon bruker $2 \times 2 = 4$ piksler.
 - Derivert er ikke kontinuerlig over bilde-flaten.
- Bi-kubisk interpolasjon gir glattere flater.
 - Er mer regnekrevende.
 - Bruker $4 \times 4 = 16$ piksler.



F16 29.05.2012

INF 2310 - FA

17

Normalisert histogram

- Vi har at $\sum_{i=0}^{G-1} h(i) = n \times m$
- Det normaliserte histogrammet:

$$p(i) = \frac{h(i)}{n \times m}, \quad \sum_{i=0}^{G-1} p(i) = 1$$

- $p(i)$ kan ses på som en **sannsynlighetsfordeling** for pikselintensitetene
- "Uavhengig" av antall piksler i bildet

F16 29.05.2012

INF 2310 - FA

18

Kumulativt histogram

- Hvor mange piksler har gråtone mindre enn eller lik gråtone j ?

$$c(j) = \sum_{i=0}^j h(i)$$

- Normalisert kumulativt histogram:

$$\frac{c(j)}{n \times m}$$

(Sannsynligheten for at en tilfeldig valgt piksel er mindre eller lik gråtone j)

F16 29.05.2012

INF 2310 - FA

19

Lineær avbilding

- Lineær strekking

$$T[i] = a i + b$$

$$g(x, y) = a f(x, y) + b$$

- a regulerer kontrasten, og b "lysheten"
- $a > 1$: mer kontrast
- $a < 1$: mindre kontrast
 - Q: Når og hvordan påvirker a middelverdien?
- b : flytter alle gråtoner b nivåer
- Negativer: $a = -1$, $b = \text{maxverdi for bildetypen}$

F16 29.05.2012

INF 2310 - FA

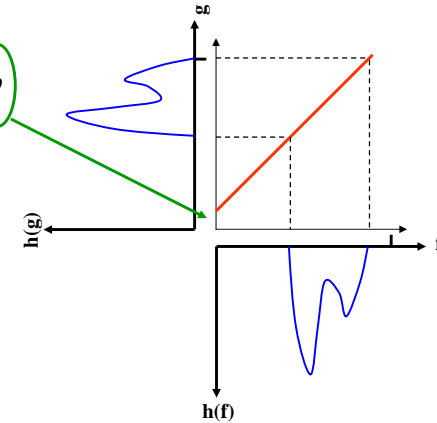
20

Endre "lysheten" (brightness)

- Legge til en konstant b til alle pikselverdiene

$$g(x, y) = f(x, y) + b$$

- Hvis $b > 0$, alle pikselverdiene øker, og bildet blir lysere
- Hvis $b < 0$, bildet blir mørkere
- Histogrammet flyttes opp eller ned med b
- Middelverdien endres!**



F16 29.05.2012

INF 2310 - FA

21

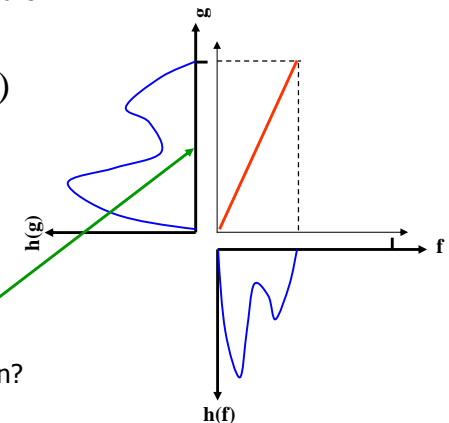
Endre kontrasten

- Multiplisere hver pikselverdi med en faktor a :

$$g(x, y) = a f(x, y)$$

- Hvis $a > 1$, kontrasten øker
- Hvis $a < 1$, kontrasten minker

- Eks: Bruke hele intensitetsskalaen
- Q:** Hva skjer med middelverdien?



F16 29.05.2012

INF 2310 - FA

22

Justering av μ og σ^2

- Gitt inn-bilde med middelverdi μ og varians σ^2
- Anta en lineær gråtone-transform $T[i] = ai + b$
- Ny middelverdi μ_T og varians σ_T^2 er da gitt ved

$$\mu_T = \sum_{i=0}^{G-1} T[i] p(i) = a\mu + b$$

Dvs.

$$a = \sigma_T / \sigma, \quad b = \mu_T - a\mu$$

Vi kan altså

- velge nye μ_T og σ_T^2 ,
- beregne a og b ,
- anvende $T[i] = ai + b$ på inn-bildet
- og få et ut-bilde med riktig μ_T og σ_T^2

$$\begin{aligned} \sigma_T^2 &= \sum_{i=0}^{G-1} T[i]^2 p(i) - \left(\sum_{i=0}^{G-1} T[i] p(i) \right)^2 \\ &= \sum_{i=0}^{G-1} (a^2 i^2 + 2ai b + b^2) p(i) - \left(\sum_{i=0}^{G-1} (ai + b) p(i) \right)^2 \\ &= a^2 \left(\sum_{i=0}^{G-1} i^2 p(i) - \left(\sum_{i=0}^{G-1} i p(i) \right)^2 \right) = a^2 \sigma^2 \end{aligned}$$

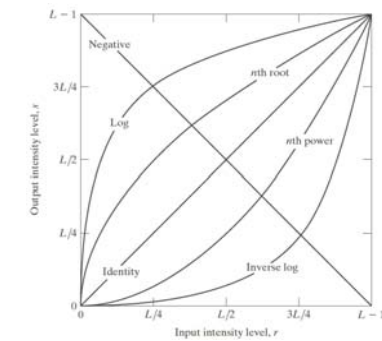
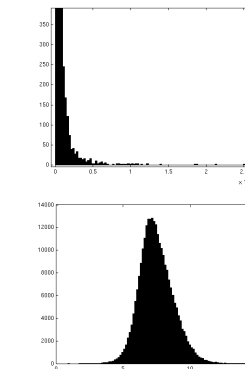
F16 29.05.2012

INF 2310 - FA

23

Logaritmiske transformasjoner

- Q:** Hvilken av transformasjonene til høyre er brukt her?



(Fig 3.3 i DIP)

F16 29.05.2012

INF 2310 - FA

24

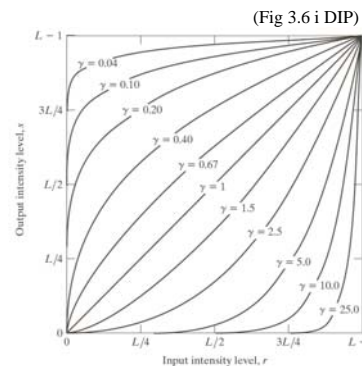
Power-law (gamma)-transformasjoner

- Mange bildeproduserende apparater har et input/output-forhold som kan beskrives som:

$$s = ci^\gamma$$

der s er ut-intensiteten ved en input i

- Kan korrigeres ved gråtonetransformen $T[i] = i^{1/\gamma}$
- Generell kontrast-manipulasjon
 - Brukvennlig med kun én variabel



Histogramutjevning (histogram equalization)

- Mål: Maksimere kontrasten
 - Gjøre histogrammet uniformt (flatt)
 - ↔ Kumulative histogrammet en rett linje

- Middel: Global gråtonetransform; $T[i]$
 - Altså flytte på (hele) histogramsøyler

- Tilnærming ved å spre søylene mest mulig utover det støttede intensitetsintervallet

Algoritme for histogramutjevning

- For et $n \times m$ bilde med G gråtoner:
 - Lag array h , p , c og T av lengde G med initialverdi 0
 - Finn bildets normaliserte histogram
 - Gå igjennom bildet piksel for piksel.
 - Hvis piksel har intensitet i , la $h[i]=h[i]+1$
 - Deretter skalér, $p[i] = h[i]/(n \cdot m)$, $i=0,1,\dots,G-1$
- Lag det kumulative histogrammet c
 - $c[0] = p[0]$
 - $c[i] = c[i-1]+p[i]$, $i=1,2,\dots,G-1$
- Sett inn verdier i transformarray T

$$T[i] = \text{Round}((G-1) \cdot c[i])$$
, $i=0,1,\dots,G-1$
- Gå igjennom bildet piksel for piksel,
 - Hvis bildet har intensitet i , sett intensitet i utbildet til $s=T[i]$

Histogramtilpasning

- Histogramutjevning gir flatt histogram
- Kan spesifisere annen form på resultathistogrammet:
 - Gjør histogramutjevning på innbildet, finn $s=T(i)$
 - Spesifiser ønsket nytt histogram $g(z)$
 - Finn den transformen T_g som histogramutjevner $g(z)$ og inverstransformen T_g^{-1}
 - Inverstransformer det histogramutjevnede bildet fra punkt 1 ved $z=T_g^{-1}(s)$

Utregning av 2-D konvolusjon

$$g(x, y) = \sum_{j=x-w_1}^{x+w_1} \sum_{k=y-w_2}^{y+w_2} h(x-j, y-k) f(j, k)$$

- For å regne ut resultatet av en konvolusjon for posisjon (x,y) :
 - Roter masken 180 grader, legg den over bildet slik at minst en posisjon overlapper med bildet.
 - Multipliser hvert element i masken med underliggende pikselverdi. Summen av produktene gir verdien for $g(x,y)$ i posisjon (x,y) .
- For å regne ut resultatet for alle posisjoner: Flytt masken piksel for piksel og gjenta operasjonene over.
- Vi bruker notasjonen
$$g = h * f$$
 der $*$ er konvolusjons-operatoren

F16 29.05.2012

INF 2310 - FA

29

Hva gjør vi langs randen?

Alternativer:

- Sett $g(x,y)=0$
- Sett $g(x,y)=f(x,y)$
- Trunker ut-bildet
- Trunker konvolusjons-masken h
- Utvid bildet ved "reflected indexing"
- "Circular indexing"

F16 29.05.2012

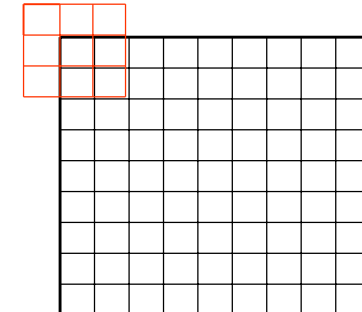
INF 2310 - FA

31

Praktiske problemer

- Kan ut-bildet ha samme piksel-representasjon som inn-bildet?
- Trenger vi et mellom-lager?
- Hva gjør vi langs bilde-randen?
- Anta at bildet er $M \times N$ piksler
- Anta at filteret er $m \times n$ ($m=2m_2+1, n=2n_2+1$)
- Überørt av rand-effekt:
$$(M-2m_2) \times (N-2n_2)$$

3x3: $(M-2) \times (N-2)$
5x5: $(M-4) \times (N-4)$



F16 29.05.2012

INF 2310 - FA

30

Et lite tips om konvolusjon

- Når vi konvolverer et filter med et bilde:
 - Er vi interessert i å lage et nytt bilde med samme størrelse som input-bildet.
 - Vi bruker en av teknikkene fra forrige foil.
- Når vi konvolverer en filter-kjerne med en annen filter-kjerne:
 - Vi vil lage effektiv implementasjon av et stort filter med en kombinasjon av enkle, separable filtre.
 - Vi beregner resultatet for alle posisjoner der de to filter-kjernene gir overlapp.

F16 29.05.2012

INF 2310 - FA

32

Egenskaper ved konvolusjon

- Kommutativ

$$f*g = g*f$$

- Assosiativ

$$(f*g)*h = f*(g*h)$$

- Distributiv

$$f*(g+h) = (f*g) + (f*h)$$

- Assosiativ ved skalar multiplikasjon

$$a(f*g) = (af)*g = f*(ag)$$

- Kan utnyttes i sammensatte konvolusjoner !

F16 29.05.2012

INF 2310 - FA

33

Lavpass-filtre

- Slipper gjennom lave frekvenser, og demper eller fjerner høye frekvenner.

– Høye frekvenser = skarpe kanter, støy, detaljer.

- Effekt: "blurring" eller utsmøring av bildet

- Utfordring: bevare kanter samtidig som homogene områder glattes.

F16 29.05.2012

INF 2310 - FA

34

Separable filtre

- Geometrisk form: kvadrat, rektangel
- Rektangulære middelverdi-filtre er separable.

$$h(i, j) = \frac{1}{25} \begin{bmatrix} 1 & 1 & 1 & 1 & 1 \\ 1 & 1 & 1 & 1 & 1 \\ 1 & 1 & 1 & 1 & 1 \\ 1 & 1 & 1 & 1 & 1 \\ 1 & 1 & 1 & 1 & 1 \end{bmatrix} = \frac{1}{25} [1 \ 1 \ 1 \ 1 \ 1] * \begin{bmatrix} 1 \\ 1 \\ 1 \\ 1 \\ 1 \end{bmatrix}$$

- Fordel: et raskt filter.
- Vanlig konvolusjon: n^2 multiplikasjoner og addisjoner.
- 2 stk 1-D konvolusjoner: $2n$ multiplikasjoner og addisjoner.

F16 29.05.2012

INF 2310 - FA

35

Ikke-uniformt lavpass-filter

- Uniforme lavpass-filtre kan implementeres raskt.

- Ikke-uniforme filtre, for eksempel:

– 2D Gauss-filter:

$$h(x, y) = \exp\left(-\frac{(x^2 + y^2)}{2\sigma^2}\right)$$

- Parameter σ er standard-avviket(bredden)
- Filterstørrelse må tilpasses σ

F16 29.05.2012

INF 2310 - FA

36

Rang-filtrering

- Vi lager en en-dimensjonal liste av alle piksel-verdiene innenfor vinduet.
- Vi sorterer listen i stigende rekkefølge.
- Vi velger en piksel-verdi fra en bestemt posisjon i den sorterte listen
- Denne piksel-verdien er resultatet av filtreringen, og skrives ut til tilsvarende piksel-posisjon i ut-bildet.

F16 29.05.2012

INF 2310 - FA

37

Median-filter

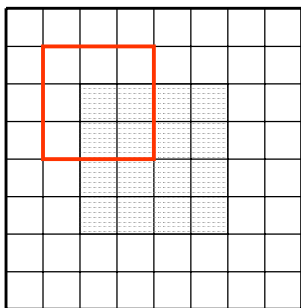
- $g(x,y) = \text{median}$ av verdiene i et vindu rundt inn-pikslet.
- Median = den midterste verdien i sortert liste.
- Vindu: kvadrat, rektangel, pluss.
- Rask implementasjon kan gjøres vha. histogram, med histogram-oppdatering etter hvert som vinduet flyttes.
- Et av de mest brukte kant-bevarende støy-filtre.
- Spesielt godt til å fjerne impuls-støy ("salt og pepper")
- Problemer:
 - Tynne kanter kan forsvinne
 - Hjørner kan rundes av
 - Objekter kan bli litt mindre
- Valg av vindus-størrelse og form er viktig!

F16 29.05.2012

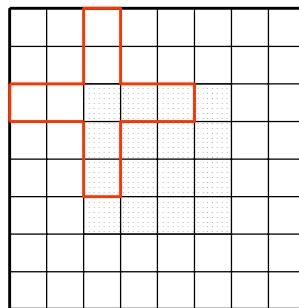
INF 2310 - FA

38

Median og hjørner



Med kvadratisk vindu
rundes hjørnet av



Med "pluss"-vindu
bevares hjørnet

F16 29.05.2012

INF 2310 - FA

39

Høypass-filtre

- Slipper gjennom høye frekvenser.
- Demper eller fjerner lav-frekvente variasjoner.
- Effekt:
 - Fjerner langsomt varierende bakgrunn
 - Framheve kanter, linjer og skarpe detaljer.

F16 29.05.2012

INF 2310 - FA

40

Høypass-filtre

- Et høypass-filter må ha positive vekter i midten, og negative vekter lengre ut.

$$\begin{bmatrix} -1 & -1 & -1 \\ -1 & 8 & -1 \\ -1 & -1 & -1 \end{bmatrix}$$

- Vi lar summen av vektene være null.
 - Hvorfor er dette lurt?
- Hvis vi lar middelverdien av ut-bildet bli null, må noen deler av ut-bildet være <0 .
- Det er ingen god ide å benytte $|g(x,y)|$.
- For framvisning, skaler $g(x,y)$ og legg til en konstant slik at vi får positive pikselverdier.

F16 29.05.2012

INF 2310 - FA

41

Noen gradient-operatorer - I

- "Pixel difference"

$$H_x(i,j) = \begin{bmatrix} 0 & 0 & 0 \\ 0 & 1 & -1 \\ 0 & 0 & 0 \end{bmatrix} \quad H_y(i,j) = \begin{bmatrix} 0 & -1 & 0 \\ 0 & 1 & 0 \\ 0 & 0 & 0 \end{bmatrix}$$

- "Separated pixel difference"

$$H_x(i,j) = \begin{bmatrix} 0 & 0 & 0 \\ 1 & 0 & -1 \\ 0 & 0 & 0 \end{bmatrix} \quad H_y(i,j) = \begin{bmatrix} 0 & -1 & 0 \\ 0 & 0 & 0 \\ 0 & 1 & 0 \end{bmatrix}$$

- Roberts-operatoren

$$H_x(i,j) = \begin{bmatrix} 0 & 0 & -1 \\ 0 & 1 & 0 \\ 0 & 0 & 0 \end{bmatrix} \quad H_y(i,j) = \begin{bmatrix} -1 & 0 & 0 \\ 0 & 1 & 0 \\ 0 & 0 & 0 \end{bmatrix}$$

F16 29.05.2012

INF 2310 - FA

42

Noen gradient-operatorer - II

- Prewitt-operatoren

$$H_x(i,j) = \begin{bmatrix} 1 & 0 & -1 \\ 1 & 0 & -1 \\ 1 & 0 & -1 \end{bmatrix} \quad H_y(i,j) = \begin{bmatrix} -1 & -1 & -1 \\ 0 & 0 & 0 \\ 1 & 1 & 1 \end{bmatrix}$$

- Sobel-operatoren

$$H_x(i,j) = \begin{bmatrix} 1 & 0 & -1 \\ 2 & 0 & -2 \\ 1 & 0 & -1 \end{bmatrix} \quad H_y(i,j) = \begin{bmatrix} -1 & -2 & -1 \\ 0 & 0 & 0 \\ 1 & 2 & 1 \end{bmatrix}$$

- Frei-Chen-operatoren

$$H_x(i,j) = \begin{bmatrix} 1 & 0 & -1 \\ \sqrt{2} & 0 & -\sqrt{2} \\ 1 & 0 & -1 \end{bmatrix} \quad H_y(i,j) = \begin{bmatrix} -1 & -\sqrt{2} & -1 \\ 0 & 0 & 0 \\ 1 & \sqrt{2} & 1 \end{bmatrix}$$

F16 29.05.2012

INF 2310 - FA

43

g_x , g_y og gradient-magnituden, G

- Vi finner de horisontale kantene:

Beregn $g_x(x,y) = H_x * f(x,y)$

- Vi finner de vertikale kantene:

Beregn $g_y(x,y) = H_y * f(x,y)$

- Beregn gradient-magnitude og retning:

$$G(x,y) = \sqrt{g_x^2(x,y) + g_y^2(x,y)} \quad \text{Gradient-magnitude}$$

$$\theta(x,y) = \tan^{-1}\left(\frac{g_y(x,y)}{g_x(x,y)}\right) \quad \text{Gradient retning}$$

F16 29.05.2012

INF 2310 - FA

44

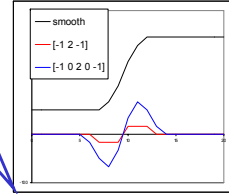
Laplace-operatoren

- Laplace-operatoren er gitt ved:

$$\nabla^2(f(x, y)) = \frac{\partial^2 f}{\partial x^2} + \frac{\partial^2 f}{\partial y^2}$$

- Den endrer fortegn der $f(x, y)$ har et infleksjons-punkt / vendepunkt.
- $|\nabla^2 f|$ har to ekstremverdier idet vi passerer en kant
- $\nabla^2 f = 0$ markerer kant-posisjon.

- Kantens eksakte posisjon finnes ved nullgjennomgangen.
- Dette gir ikke brede kanter.
- Vi finner bare magnitude, ikke retning.



F16 29.05.2012

INF 2310 - FA

45

Flere Laplace-operatorer

- Merk at Laplace-operatorene kan uttrykkes som senter-verdi minus et (veiet) middel over et lokalt naboskap.

- 1D $\nabla^2 f(i) = -f(i-1, j) + 2f(i, j) - f(i+1, j) = 3f(i) - \sum_{j=i-1}^{i+1} f(j)$

- 2D "pluss" $\begin{bmatrix} 0 & -1 & 0 \\ -1 & 4 & -1 \\ 0 & -1 & 0 \end{bmatrix} = \begin{bmatrix} 0 & 0 & 0 \\ 0 & 5 & 0 \\ 0 & 0 & 0 \end{bmatrix} - \begin{bmatrix} 0 & 1 & 0 \\ 1 & 1 & 1 \\ 0 & 1 & 0 \end{bmatrix}$

- 2D "kvadrat" $\begin{bmatrix} -1 & -1 & -1 \\ -1 & 8 & -1 \\ -1 & -1 & -1 \end{bmatrix} = \begin{bmatrix} 0 & 0 & 0 \\ 0 & 9 & 0 \\ 0 & 0 & 0 \end{bmatrix} - \begin{bmatrix} 1 & 1 & 1 \\ 1 & 1 & 1 \\ 1 & 1 & 1 \end{bmatrix}$

F16 29.05.2012

INF 2310 - FA

46

Laplace vs. Sobel



Sobel-filtrert
=> bred kant



Laplace-filtrert
=> dobbelt-kant

F16 29.05.2012

INF 2310 - FA

47

Fra Laplace til LoG

- Vi gjorde gradient-operatorene støy-robuste
 - ved å bygge inn en lavpassfiltrering. Eksempel: Sobel-operator
- $$h_x = \begin{bmatrix} 1 & 0 & -1 \\ 2 & 0 & -2 \\ 1 & 0 & -1 \end{bmatrix} = [1 \ 0 \ -1] * \begin{bmatrix} 1 \\ 2 \\ 1 \end{bmatrix}, h_y = \begin{bmatrix} -1 & -2 & -1 \\ 0 & 0 & 0 \\ 1 & 2 & 1 \end{bmatrix} = [0 \ 1 \ 2] * \begin{bmatrix} -1 \\ 0 \\ 1 \end{bmatrix}$$
- Vi kan gjøre det samme med Laplace-operatoren
 - Vi bruker et Gauss-filter G
 - Og siden konvolusjon er kommutativ, får vi
- $$\nabla^2 * (f * G) = (\nabla^2 * G) * f = LoG * f$$
- Der LoG er resultatet av å anvende Laplace-operatoren på en Gauss-funksjon.

F16 29.05.2012

INF 2310 - FA

48

Canny's algoritme

- I Canny's algoritme gjøres kant-lokalisering slik:
 - Tynning (non-maximal suppression): Hvis et piksel har en nabo med høyere pikselverdi, settes pikselverdien ned.
 - Hysterese-terskling (to terskler T_h og T_l)
 - Vansklig å finne en god gradient-terskel for hele bildet.
 - 1. Merk alle piksler der $G > T_h$
 - 2. Scan alle piksler der $G \in [T_l, T_h]$
 - 3. Hvis et slikt piksel er nabo til et merket piksel, så merkes dette pikselet også.
 - 4. Gjenta fra trinn 2 til konvergens.

F16 29.05.2012

INF 2310 - FA

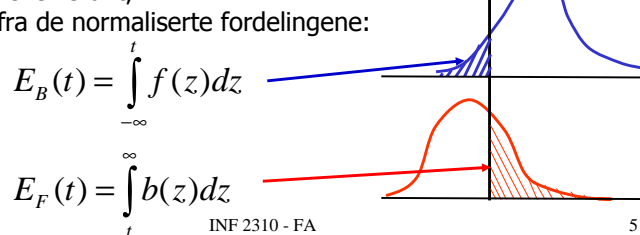
49

Klassifikasjonsfeil ved terskling

- Anta at histogrammet er en sum av to fordelinger $b(z)$ og $f(z)$, b og f er **normaliserte** bakgrunns- og forgrunns-histogrammer.
- La F og B være **a priori sannsynlighet** for bakgrunn og forgrunn ($B+F=1$)
- Det normaliserte histogrammet til bildet kan da skrives

$$p(z) = B \cdot b(z) + F \cdot f(z)$$

- Sannsynlighetene for å feilklassifisere et piksel, gitt en terskelverdi t , finner vi fra de normaliserte fordelingene:



F16 29.05.2012

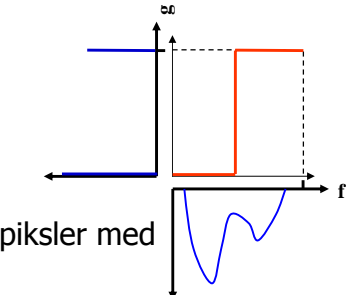
INF 2310 - FA

51

Terskling

- Hvis vi har grunn til å anta at objektene f.eks. er lysere enn bakgrunnen, kan vi sette en terskel T og lage oss et binært ut-bilde $g(x,y)$ ved mappingen:

$$g(x, y) = \begin{cases} 0 & \text{hvis } f(x, y) \leq T \\ 1 & \text{hvis } f(x, y) > T \end{cases}$$



- Da har vi fått et ut-bilde $g(x,y)$ med bare to mulige verdier.
- Med riktig valg av T vil nå alle piksler med $g(x,y)=1$ være objekt-piksler.

F16 29.05.2012

INF 2310 - FA

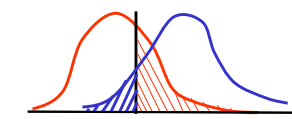
50

Den totale feilen

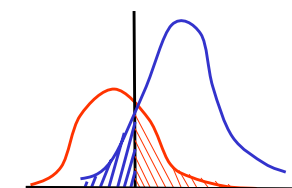
- Vi har funnet andelen feilklassifikasjon i hver fordeling.
- Den totale feilen finner vi ved å multiplisere med a priori sannsynlighetene for forgrunn og bakgrunn:

$$E(t) = F \cdot E_B(t) + B \cdot E_F(t)$$

$$= F \int_{-\infty}^t f(z) dz + B \int_t^{\infty} b(z) dz$$



- Legges terskelen veldig høyt eller veldig lavt, blir feilen stor.
- Det er rimelig å anta at feilen har et minimum for en bestemt verdi $t = T$.



F16 29.05.2012

INF 2310 - FA

52

Finn den T som minimerer feilen

$$E(t) = F \int_{-\infty}^t f(z) dz + B \int_t^{\infty} b(z) dz$$

- Deriverer E(t) mhp. t vha. Leibnitz regel for derivasjon av integraler.
- Setter den deriverte lik 0 og får:

$$\frac{dE(t)}{dt} = 0 \Rightarrow F \cdot f(T) = B \cdot b(T)$$

VIKTIG !!!

- Merk at dette er en generell løsning som gir minst feil.
- Det er ingen restriksjoner mht. fordelingene b og f!!

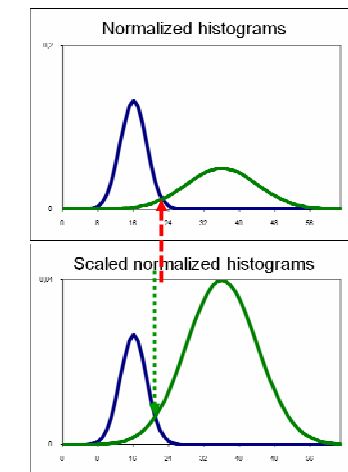
F16 29.05.2012

INF 2310 - FA

53

Hvilket histogram ?

- Det er IKKE skjæringen mellom de normaliserte histogrammene vi er ute etter!



- Det er skjæringen mellom **de a priori-skalerte** normaliserte histogrammene som gir riktig terskelverdi !!!

F16 29.05.2012

INF 2310 - FA

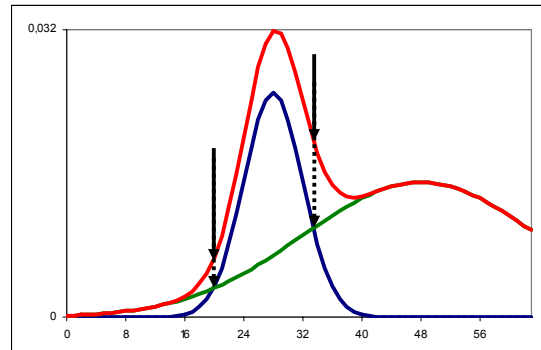
54

Forskjellige standardavvik ?

- Hvis standardavvikene i de to Gauss-fordelingene er forskjellige
 - og skjæringspunktene mellom fordelingene (skalert med a priori sannsynlighet) ligger innenfor gråtoneskalaen i bildet

- En terskelverdi for hvert skjæringspunkt.

- Det er bare mellan de to tersklene at flertallet av pikslene er bakgrunnspiksler!



F16 29.05.2012

INF 2310 - FA

55

Hvor ligger optimal terskel?

- Vi har en annengradslikning i T:

$$(\sigma_B^2 - \sigma_F^2)T^2 + 2(\mu_B\sigma_F^2 - \mu_F\sigma_B^2)T + \sigma_B^2\mu_F^2 - \sigma_F^2\mu_B^2 + 2\sigma_B^2\mu_F^2 \ln\left(\frac{B\sigma_F}{F\sigma_B}\right) = 0$$

- Hvis standard-avvikene i de to fordelingene er like ($\sigma_B = \sigma_F = \sigma$) får vi en enklere ligning:

$$2(\mu_B - \mu_F)T - (\mu_B + \mu_F)(\mu_B - \mu_F) + 2\sigma^2 \ln\left(\frac{B}{F}\right) = 0$$

$$\Updownarrow \\ T = \frac{(\mu_B + \mu_F)}{2} + \frac{\sigma^2}{(\mu_B - \mu_F)} \ln\left(\frac{F}{B}\right)$$

- Hvis **a priori** sannsynlighetene F og B er omrent like (eller hvis $\sigma=0$) har vi en veldig enkel løsning:

$$T = \frac{(\mu_B + \mu_F)}{2}$$

F16 29.05.2012

INF 2310 - FA

56

En enkel tersklings-algoritme

- Start med terskel-verdi $t =$ middelverdien til alle pikslene i bildet.
 - Finn middelverdien ($\mu_1(t)$) av alle piksler som er mørkere enn terskelen
 - Finn middelverdien ($\mu_2(t)$) av alle piksler som er lysere enn terskelen.

- La ny terskel-verdi være

$$t = \frac{1}{2}(\mu_1(t) + \mu_2(t))$$

- Gjenta de to punktene ovenfor til terskelen ikke flytter seg mer.
- Dette kalles Ridler og Calvard's metode
 - Hvilke betingelser må være oppfylt for at metoden skal virke?

Otsu's metode - motivasjon

- Anta at vi har et gråtonebilde med G gråtoner, med normalisert histogram $p(i)$.
- Anta at bildet inneholder to populasjoner av piksler, slik at pikslene innenfor hver populasjon er noenlunde like, mens populasjonene er forskjellige.

Målsetting:

Vi vil finne en terskel T slik at hver av de to klassene som oppstår ved tersklingen blir mest mulig homogen, mens de to klassene bli mest mulig forskjellige.

- Klassene er homogene:
variansen i hver av de to klassene er minst mulig.
- Separasjonen mellom klassene er stor:
avstanden mellom middelverdiene er størst mulig.

Otsu's metode; oppsummering

- Gitt et $N \times M$ pikslers bilde med G gråtoner.
- Finn bildets histogram, $h(k)$, $k = 0, 1, 2, \dots, G-1$.
- Finn bildets normaliserte histogram: $p(k) = \frac{h(k)}{MN}$, $k = 0, 1, 2, \dots, G-1$
- Beregn kumulativt normalisert histogram: $P_1(k) = \sum_{i=0}^k p(i)$, $k = 0, 1, 2, \dots, G-1$
- Beregn kumulativ middelverdi, $\mu(k)$: $\mu(k) = \sum_{i=0}^k ip(i)$, $k = 0, 1, 2, \dots, G-1$
- Beregn global middelverdi, μ :
$$\mu = \sum_{i=0}^{G-1} ip(i)$$
- Beregn variansen mellom klassene, $\sigma_B^2(k)$:
$$\sigma_B^2(k) = \frac{[\mu(k) - \mu P_1(k)]^2}{P_1(k)(1 - P_1(k))}$$
- Finn terskelen, T , der $\sigma_B^2(k)$ har sitt maksimum.
- Beregn separabilitetsmålet, $\eta(T)$:
$$\eta(T) = \frac{\sigma_B^2(T)}{\sigma_{Tot}^2}, \quad 0 \leq \eta(T) \leq 1$$

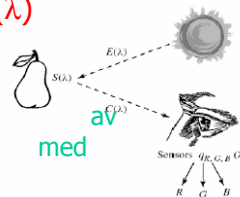
Adaptiv terskling ved interpolasjon

- Globale terskler gir ofte dårlig resultat.
- Globale metoder kan benyttes lokalt.
- Dette virker ikke der vinduet bare inneholder en klasse !
- Oppskrift:
 - NIVÅ I:** Del opp bildet i del-bilder.
 - For del-bilder med bi-modalt histogram:
 - Finn lokal terskelverdi $T_c(i,j)$ og tilordne den til senterpikselet (i,j) i del-bildet.
 - For del-bilder med uni-modalt histogram:
 - Finn lokal terskelverdi ved interpolasjon.
 - NIVÅ II:** Piksel-for-piksel interpolasjon:
 - Gå gjennom alle piksel-posisjoner
 - bestem adaptiv terskelverdi $T(x,y)$ ved interpolasjon mellom de lokale terskelverdiene $T_c(i,j)$.
 - Terskle så hvert piksel (x,y) i bildet i terskelverdiene $T(x,y)$.

Tre integraler gir RGB

- Lys fra en kilde med spektralfordeling $E(\lambda)$

- treffer et objekt med spektral refleksjonsfunksjon $S(\lambda)$.
- Reflektert lys detekteres av tre typer tapper spektral lysfølsomhetsfunksjon $q_i(\lambda)$.



- Tre analoge signaler kommer ut av dette:

$$R = \int E(\lambda) S(\lambda) q_R(\lambda) d\lambda$$

$$G = \int E(\lambda) S(\lambda) q_G(\lambda) d\lambda$$

$$B = \int E(\lambda) S(\lambda) q_B(\lambda) d\lambda$$

F16 29.05.2012

INF 2310 - FA

61

RGB primærfarger

- Commision Internationale de l'Eclairage, (CIE)
(The International Commision of Illumination)

har definert primærfargene:

- Blå: 435.8 nm
- Grønn: 546.1 nm
- Rød: 700 nm

F16 29.05.2012

INF 2310 - FA

62

Beskrivelse av farger

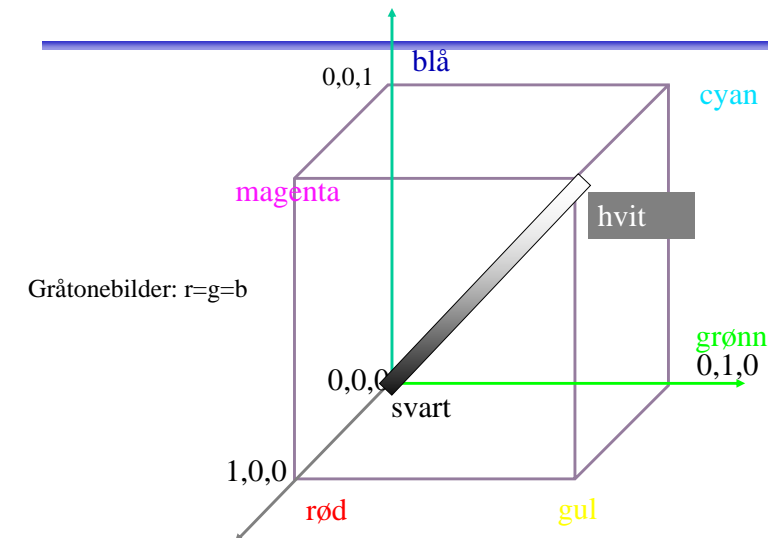
- En farge kan beskrives på forskjellige måter (kalles fargerom)
 - RGB
 - HSI (Hue, Saturation, Intensity)
 - CMY (Cyan, Magenta, Yellow)
 - pluss mange flere
- HSI er viktig for hvordan vi beskriver og skiller farger.
 - I – Intensitet: hvor lys eller mørk er den
 - S – saturation/metning: hvor "sterk" er fargen
 - H – dominerende farge (bølgelengde)
 - H og S beskriver sammen fargen og kalles kromatisitet

F16 29.05.2012

INF 2310 - FA

63

RGB-kuben



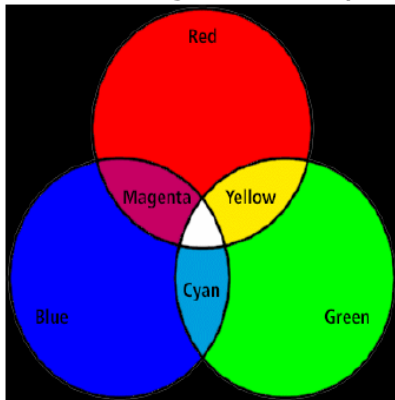
F16 29.05.2012

INF 2310 - FA

64

RGB og CMY

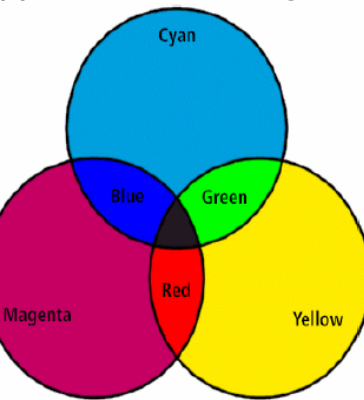
- RGB og CMY er i prinsippet sekundærfarger



F16 29.05.2012

INF 2310 - FA

65



- Hue: ren farge - gir bølgelengden i det elektromagnetiske spektrum.

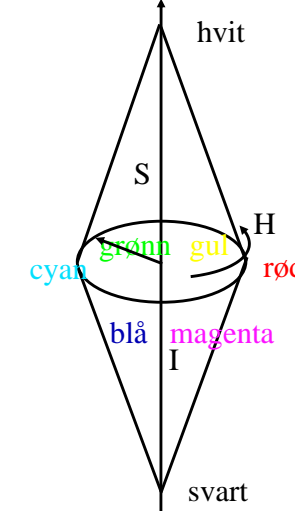


- H er vinkel og ligger mellom 0 og 2π :

Rød: $H=0$, **grønn:** $H=2\pi/3$, **blå:** $4\pi/3$,
gul: $H=\pi/3$, **cyan:** π , **magenta:** $5\pi/3$

- Hvis vi skalerer H-verdiene til 8-bits verdier vil

Rød: $H=0$, **grønn:** $H=85$, **blå:** 170 ,
gul: $H=42$, **cyan:** 127 , **magenta:** 213 .



F16 29.05.2012

INF 2310 - FA

66

Fargebilder og fargetabeller

- RGB kan lagres med like mange biter for **r**, **g**, **b**, f.eks $(8 + 8 + 8)$
- Selv $3 + 3 + 3 = 9$ biter gir oss $8 \cdot 8 \cdot 8 = 512$ kombinasjoner, men bare 8 forskjellige nivåer av rødt, grønt og blått, og dermed også bare 8 forskjellige gråtoner.
- Et scene med mange nyanser av én farge vil da se ille ut ! Hvorfor? Jo fordi denne fargen bare får 8 forskjellige nyanser !
- Det er ikke sikkert at alle de 512 fargene finnes i bildet.
- Alternativt kan man bruke 8 biter og **fargetabeller**.
- Hver rad i tabellen beskriver en **r**, **g**, **b**-farge med 24 biter.
- **Tabellen inneholder de 256 fargene som best beskriver bildet.**
- I bilde-filen ligger pikselverdiene som tall mellom 0 og 255.
- Når vi skal vise bildet, slår vi bare opp i samme rad som pikselverdien, og finner de tilsvarende **r**, **g**, **b**-verdiene.

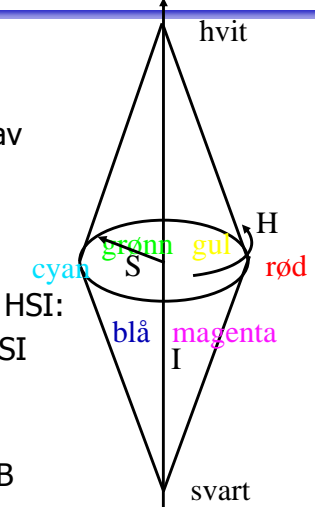
F16 29.05.2012

INF 2310 - FA

67

Histogramutjevning av RGB-bilder

- Histogramutjevning på hver komponent (R,G,B) uavhengig av hverandre
 - Ofte dårlig resultat
- Et bedre alternativ er å benytte HSI:
 - Transformér bildet fra RGB til HSI
 - Gjør histogramutjevning på I-komponenten
 - Transformer HSI_{ny} tilbake til RGB



F16 29.05.2012

INF 2310 - FA

68

Terskling av fargebilder - I

- Anta at vi har observert samme scene på flere bølgelengder.
- Vi kan da utføre terskling basert på
 - to-dimensjonale
 - tre-dimensjonale
 - eller multi-dimensjonale histogrammer
- Enkel metode:
 - 1: Bestem terskler uavhengig for hver kanal.
 - 2: Kombiner alle segmenterte kanaler til ett bilde.
- Dette svarer til at vi har delt opp f.eks. RGB-rommet i bokser.

F16 29.05.2012

INF 2310 - FA

69

Terskling av fargebilder - II

- En mer kompleks metode:
- Velg et punkt i det multidimensjonale rommet som referanse, f.eks. (R_0, G_0, B_0)
- Terskle basert på avstand fra dette referansepunktet.
$$d(x, y) = \sqrt{[f_R(x, y) - R_0]^2 + [f_G(x, y) - G_0]^2 + [f_B(x, y) - B_0]^2}$$
- Slik at
$$g(x, y) = \begin{cases} 1 & \text{hvis } d(x, y) \leq d_{\max} \\ 0 & \text{hvis } d(x, y) > d_{\max} \end{cases}$$
- Dette definerer en kule med radius d_{\max} omkring punktet (R_0, G_0, B_0) .
- Kan lett generaliseres til ellipsoide med forskjellige avstands-terskler i R,G,B

$$d(x, y) = \sqrt{\frac{[f_R(x, y) - R_0]^2}{d_R^2} + \frac{[f_G(x, y) - G_0]^2}{d_G^2} + \frac{[f_B(x, y) - B_0]^2}{d_B^2}}$$

- Merk at da er

$$g(x, y) = \begin{cases} 1 & \text{hvis } d(x, y) \leq 1 \\ 0 & \text{hvis } d(x, y) > 1 \end{cases}$$

F16 29.05.2012

INF 2310 - FA

70

Terskling i HSI

- Transformer fra RGB til HSI.
- Anta at vi vil segmentere ut de delene av bildet som
 - Har en gitt farge (H)
 - Er over en gitt metnings-terskel (S)
- Lag en maske ved å terskle S-bildet (velg en percentil)
- Multipliser H-bildet med masken.
- Velg et intervall i H som svarer til ønsket farge.
- Husk at H er sirkulær!

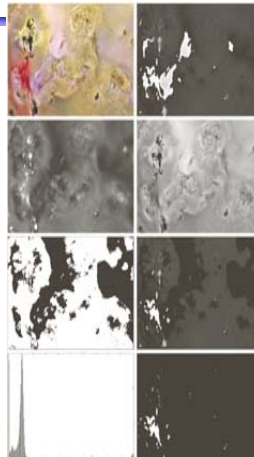


FIGURE 6.42 Image segmentation in HSI space. (a) Original. (b) Hue. (c) Saturation. (d) Intensity. (e) Binary saturation mask (black = 0). (f) Product of (b) and (e). (g) Histogram of (f). (h) Segmentation of red components in (a).

F16 29.05.2012

INF 2310 - FA

71

Kontakt oss

- Hvis du lurer på noe i INF2310-pensum (e-post)
- Hvis du tenker på flere kurs i digital bildeanalyse
- Hvis du tenker på å ta en Master-oppgave

Takk, og lykke til med eksamen !!!

F16 29.05.2012

INF 2310 - FA

72